

## تحلیل بیومکانیکی پیچ و مخروط و آنالیز حساسیت شل شدن اباتمنت در ایمپلنت‌های دندانی

دکتر محمدرضا ملاکزاده<sup>۱</sup>- میلاد فرزذی<sup>۲</sup>

۱- استادیار گروه آموزشی بیومکانیک، دانشکده مهندسی مکانیک، دانشگاه علم و صنعت ایران، تهران، ایران

۲- دانشجوی کارشناسی ارشد مهندسی پزشکی، دانشکده مهندسی مکانیک، دانشگاه علم و صنعت ایران، تهران، ایران

### Biomechanical analysis of tapered integrated screw and sensitivity analysis on abutment loosening in dental implants

Mohammadreza Mallakzadeh<sup>1†</sup>, Milad Farzadi<sup>2</sup>

1<sup>†</sup>- Assistant Professor, Department of Biomechanics, School of Mechanical Engineering, Iran University of Science and Technology, Tehran, Iran (mmallak@iust.ac.ir)

2- MSc. Student, Department of Biomechanics, School of Mechanical Engineering, Iran University of Science and Technology, Tehran, Iran

**Background and Aims:** Different mechanisms have been developed for connecting abutment to implant. One of the most popular mechanisms is Tapered Integrated Screw (TIS), which is a Tapered Interference Fit (TIF) with a screw integrated at the bottom of that. The aim of this study was to investigate the mechanism of TIS and effective factors in employing TIS during design and implementation processes using an analytic method.

**Materials and Methods:** Relevant equations were developed to predict tightening and loosening torques, contact pressure and preloads with and without bone tissue in this analysis. The efficiency is defined as the ratio of the loosening torque to the tightening torque. The effects of the change in elastic modulus and thickness of the bone on operation of this mechanism were investigated.

**Results:** In this study, 14 independent parameters such as taper angle, friction coefficient, abutment and implant geometry that are effective on performance of TIS mechanism were presented. The role of some factors was shown in the performance of ITI implant using sensitivity analysis.

**Conclusion:** It was shown that friction coefficient, contact length, and implant radius play major roles on tightening and loosening torques and efficiency of the mechanism. Furthermore, the results revealed that the change in the elastic modulus and thickness of the bone influenced the efficiency of the mechanism less than 15%.

**Key Words:** Dental implant; Abutment; Screw; Torque

Journal of Dental Medicine-Tehran University of Medical Sciences 2013;25(4):240-50

#### چکیده

**زمینه و هدف:** در اتصال اباتمنت به ایمپلنت مکانیزم‌های مختلفی ارایه شده است. یکی از پر کاربردترین این مکانیزم‌ها در ایمپلنت‌های دندانی، TIS (Tapered Integrated Screw) یا ترکیب مخروط با پیچ متصل به انتهای آن می‌باشد. هدف از این مطالعه بررسی چگونگی عملکرد مکانیزم فوق و همچنین تعیین عوامل موثر در بهبود عملکرد TIS در فرآیند طراحی و اجرا به روش تحلیلی بود.

**روش بررسی:** معادلات مربوطه با درنظر گرفتن استخوان اطراف ایمپلنت و همچنین بدون آن برای به دست آوردن گشتاور سفت شدن و شل شدن، فشار انقباضی و پیش‌بار توسعه داده شدند. نسبت گشتاور شل شدن به گشتاور سفت کردن به عنوان راندمان این مکانیزم تعریف گردید. در ادامه تاثیر استخوان و تغییر مدول الاستیک و ضخامت استخوان در عملکرد TIS بررسی شد.

+ مولف مسؤول: نشانی: تهران- میدان رسالت- خیابان هنگام- دانشگاه علم و صنعت ایران- دانشکده مهندسی مکانیک- گروه آموزشی بیومکانیک  
تلفن: ۷۷۴۹۱۲۲۸ نشانی الکترونیک: mmallak@iust.ac.ir

**یافته‌ها:** در این مطالعه ۱۴ متفاوت مدل ایمپلنت TIS موثر هستند شناخته شدند. از جمله این عوامل، زاویه مخروط، ضربه اصطکاک، هندسه ابامنت و ایمپلنت می‌باشند که با استفاده از آنالیز حساسیت نقش برخی از آنها در عملکرد ایمپلنت استاندارد ITI نشان داده شد.

**نتیجه‌گیری:** در این مطالعه مشخص شد که ضربه اصطکاک، سطح تماس و شعاع ایمپلنت بیشترین نقش‌ها را در تغییر مقادیر گشتاور شل شدن و سفت شدن و همچنین راندمان TIS ایفا می‌کنند، همچنین مشخص شد که تغییر خواص استخوان از جمله ضخامت و مدول الاستیک، کمتر از ۱۵٪ می‌توانند در عملکرد TIS موثر باشند.

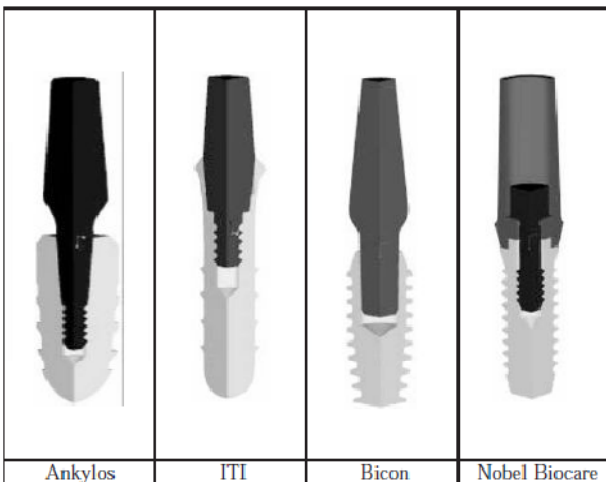
**کلید واژه‌ها:** ایمپلنت دندانی؛ ابامنت؛ پیچ؛ گشتاور

وصول: ۹۱/۰۲/۰۱ اصلاح نهایی: ۹۱/۱۱/۰۸ تایید چاپ: ۹۱/۱۱/۰۸

## پیچی و مخروطی استفاده می‌کنند مورد بررسی قرار گرفته است.

همچنین تغییرات در پارامترهای مختلف موثر در طراحی و کارکرد و اثرگذاری آنها بر پارامترهای دیگر برای ایمپلنت نوع ITI (Institute Straumann Ag, Waldenburg, Switzerland) به صورت نمودار ترسیم گردیده است.

به طور کلی، قابلیت اطمینان و پایداری یک اتصال ایمپلنت و ابامنت یک پیش شرط ضروری برای موفقیت ایمپلنت‌های دندانی است (۴). لذا بررسی پایداری ایمپلنت و اتصال استخوان- ایمپلنت با تئوری اصطکاکی در سال‌های اخیر مورد مطالعه قرار گرفته است (۵). پیش‌بار ناکافی، عدم قرار گرفتن اجزاء اتصال بر سر جای خود و همچنین خصلت چرخشی پیچ‌ها به عنوان دلایل منجر به شل شدن پیچ و حتی شکست آن معرفی شده‌اند (۶).



در شکل ۱- انواع روش‌های اتصال ابامنت و ایمپلنت (۳)

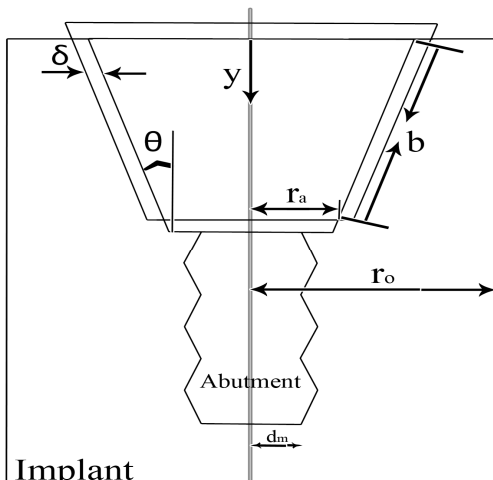
سال‌های اخیر پیشرفت‌هایی در طراحی و استفاده از طلا در پیچ، در سیستم‌های چند پارچه مانند Nobel Biocare، نتایج بسیار

امروزه ایمپلنت و ابامنت به صورت دو جزء مکمل به عنوان فنداسیون و یا پایه برای نگهداری یک یا چند پروتز دندان در بیماران دچار از دستدادگی دندان به کار می‌روند. پس از کاشت ایمپلنت یا فیکسچر در استخوان فک به کمک عمل جراحی، بیمار تا زمان جوش خوردن موفق ایمپلنت و استخوان که اصطلاحاً Osseointegration نامیده می‌شود، استراحت می‌کند. این زمان ممکن است بین ۲ تا ۶ ماه به طول بینجامد، پس از آن ابامنت به ایمپلنت متصل می‌شود. ابامنت در ایمپلنت با یک روش مکانیکی، محکم و استوار می‌گردد. پروتز دندان که عضوی غالباً سرامیکی است و شباهتی بسیاری به دندان از دست رفته دارد به ابامنت چسبانده می‌شود. این اتصال عموماً به روش‌های زیر انجام می‌پذیرد: استفاده از سیمان دندانپزشکی، استفاده از پیچ که پروتز را به ابامنت می‌بندد، اتصال به روش اتصال سوکتی که اغلب برای پروتزهای متحرک به کار می‌رود (۱).

ابامنت به طور ایده‌آل می‌باشد در جای خود در ایمپلنت ثابت بماند. در مرسوم‌ترین روش اتصالات مکانیکی، از ابامنت دارای پیچ برای اتصال ابامنت به ایمپلنت استفاده می‌کند (۲). روش دیگر، استفاده از پیچ‌هایی با مخروط بلند در انتهای آنها می‌باشد (۳). همچنین در بعضی ایمپلنت‌ها تنها از مکانیزم اتصال مخروطی TIF (Tapered Interference Fit) استفاده شده است، در این اتصال‌ها که به ندرت مورد استفاده قرار می‌گیرد، ابامنت مانند یک مخروط طراحی شده و داخل حفره مخروطی ایمپلنت چفت می‌شود. با دو مکانیزم مخروطی و پیچی، طرح‌های گوناگونی طراحی و تولید شده‌اند، در شکل ۱ انواع طرح‌های موجود که توسط شرکت‌های سازنده ایمپلنت تولید شده‌اند را مشاهده می‌کنید. در این مقاله، مکانیزم ترکیبی مخروطی و پیچی درمورد ابامنت‌هایی که همزمان از هر دو مکانیزم

## روش بورسی

اصول کاری مکانیزم‌های ترکیبی مخروطی و پیچی TIS به این صورت می‌باشد که با سفت کردن آنها در عین حال که دندانهای پیچ در یکدیگر سفت می‌شوند، قسمت مخروطی به درون حفره مخروطی رفته و با محکم کردن اتصال قسمت نرگی که کمی بزرگ‌تر از مادگی می‌باشد به اندازه  $\delta$  (Radial interference fit) در حفره فرو می‌رود. ترکیب این دو مکانیزم باعث ایجاد یک کشش اولیه در پیچ می‌شود که پیش‌بار نامیده می‌شود. در محاسبات مکانیزم مخروطی، از بسط روابط موجود برای انتطبقانهای فشاری و انقباضی در قطعات استوانهای برای هندسه مخروطی استفاده کردیم. همچنین این روابط را با معادلات نیرو و گشتاور در اتصالات پیچی ترکیب کردیم. پارامترهای موثر در این روابط در شکل ۲ قابل مشاهده است. همچنین با توجه به دیاگرام‌های آزاد نشان داده شده در شکل ۳، روابط تعادل نیرویی توسعه داده شده‌اند.



شکل ۲- هندسه مکانیزم TIS ابتمنت در ایمپلنت

با توجه به معادله موجود برای اتصالات انقباضی سیلندرهای استوانهای با مدول الاستیک یکسان برای هر دو عضو در کتاب طراحی اجزا ماشین شیگلی، ویرایش ششم (۱۲) داریم:

$$P = \frac{E\delta}{R} \left[ \frac{(r_o^2 - R^2)}{2r_o^2} \right] \quad (1)$$

که در رابطه (۱)،  $P$  فشار ناشی از اتصال انقباضی استوانه،  $E$  مدول الاستیک هر دو عضو،  $\delta$  مقدار تداخل شعاعی،  $R$  شعاع خارجی

رضایت‌بخشی در عدم رخداد شل شدن ابتمنت داشته است (۲). همچنین مطالعات نشان داده‌اند که به کارگیری گشتاور سفت‌کنندگی کافی اثر مثبتی در جلوگیری از شل شدن ابتمنت دارد (۷۸). ابتمنت‌های نوع ترکیبی مخروطی و پیچی (TIS) مقاومت بسیار بالایی در برابر گشتاورهای شل کننده در جایگزینی تک دندان ایجاد می‌کند (۱). در یک تحقیق در مورد ۱۷۴ ایمپلنت ITI، موفقیت این نوع ایمپلنت در ۶ ماه و ۲ سال گزارش شد (۹). شل شدگی ابتمنت در این تحقیق تنها  $\frac{3}{6}\%$  و برای ایمپلنت  $\frac{5}{3}\%$  گزارش شده است. در یک تحقیق ۵ ساله دیگر ۱۱۴ ایمپلنت ITI مورد مطالعه قرار گرفتند که در این میان تنها یک شل شدگی ابتمنت گزارش شده است (۱۰). اگرچه مطالعات درصد موفقیت بالای ایمپلنت‌های ITI که از سیستم TIS استفاده می‌کنند را در برابر شل شدن ابتمنت نشان می‌دهند، ولیکن از آنجایی که بارگذاری خستگی ممکن است منجر به عدم موفقیت اتصال شود، نیاز به مطالعات طولانی مدت برای بررسی پایداری اتصال ایمپلنت- ابتمنت احساس می‌شود.

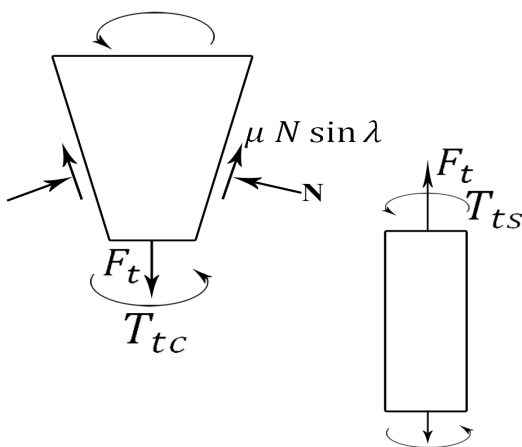
در سال ۱۹۹۹، Norton (۱۱) به بررسی تجربی تغییرات گشتاور شل شدن به عنوان درصدی از گشتاور سفت کردن با درنظر گرفتن پارامترهای مختلفی همچون گشتاور سفت کردن (بین ۴۰ تا ۵۰۰ N mm)، زاویه مخروط (۸ و ۱۱ درجه)، سطح اتصال مخروطی ( $3\text{ mm}^2$  و  $15\text{ mm}^2$ )، آلایندگی سطح اتصال با بزاق دهان و همچنین تاخیر در شل کردن پیچ (۱۰ و ۶۰ دقیقه) پرداخته است. در این مطالعه، او به این نتیجه رسید که رابطه بسیار قابل توجهی بین گشتاور سفت کردن و گشتاور شل شدن وجود دارد. زاویه مخروط و آلایندگی با بزاق و نیز زمان تاخیر، تاثیری بسزایی در گشتاور شل شدن نخواهد داشت، درحالی که افزایش سطح اتصال، تاثیر شگرفی در ازدیاد گشتاور شل شدن خواهد داشت.

در این مقاله، برای تقریب مقادیر گشتاور شل شدن و سفت کردن و تعیین پیش‌بار روابط ریاضی برای مکانیزم‌های مخروطی TIF و پیچ، با یکدیگر ترکیب شده‌اند تا معادلات مورد نیاز برای یک ابتمنت با مکانیزم TIS توسعه یابد. در این معادلات گشتاورهای سفت کردن و شل شدن به عنوان توابعی از پارامترهای طراحی ارایه شده‌اند. همچنین راندمان سیستم به صورت نسبتی از گشتاور شل شدن به سفت کردن معرفی شده است.

در سطح تماس می باشد، می توان این نیرو را با انتگرال گیری فشار روی سطح مخروطی با رابطه ۴ تعیین کرد.

$$N = 2\pi \int_0^{b \cos \theta} P_c R_c dy \quad (4)$$

در رابطه ۴،  $N$  عکس العمل سطح می باشد، دیگر پارامترها نیز در معادلات قبل توضیح داده شده اند. در هنگام بستن ابامنت های با مکانیزم TIS، پیش بار کششی در قسمت دندانه دار ایجاد می شود که سبب ایجاد یک نیروی مقاوم در قسمت مخروطی خواهد شد.



شکل ۳- دیاگرام آزاد نیروهای وارد بر ابامنت در بخش مخروطی و پیچی

طبق قوانین فیزیک مبتنی بر تعادل نیرو در اجسام ثابت، هر دو نیروی پیش بار و نیروی مقاوم از نظر مقداری با یکدیگر برابر خواهند بود. با توجه به دیاگرام آزاد (شکل ۳)، در قسمت مخروطی، مقدار نیروی مقاوم به سادگی نسبت به نیروی عکس العمل سطح  $N$  و ضریب اصطکاک سطح  $\mu$  قابل محاسبه خواهد بود. با توجه به این که نیروی اصطکاک در هنگام سفت شدن و شل شدن به علت وجود تفاوت ضریب اصطکاک دینامیکی و استاتیکی، متفاوت و در عکس جهت یکدیگر می باشند، لذا نیروی مقاوم نیز در این دو حالت متفاوت خواهد بود و مقادیر آن از روابط ۵ و ۶ قابل محاسبه خواهد بود.

$$F_t = N(\sin \theta + \mu_k \sin \lambda \cos \theta) \quad (5)$$

$$F_l = N(\sin \theta - \mu_s \sin \lambda \cos \theta) \quad (6)$$

سیلندر داخلی یا شعاع داخلی سیلندر خارجی و  $r_0$  شعاع خارجی سیلندر خارجی می باشد. اما همان طور که قبلاً اشاره شد این رابطه برای اتصال دو عضو استوانه ای صادق است، لذا برای اتصالات مخروطی بایستی آن را به شکل زیر بسط داد.

$$P_c = \frac{E\delta}{R_c} \left[ \frac{(r_0^2 - R_c^2) \cos \theta}{2r_0^2} \right] \quad (2)$$

در معادله ۲،  $P_c$  فشار ناشی از اتصال انقباضی مخروط،  $E$  مدول الاستیک هر دو عضو،  $\delta$  مقدار تداخل شعاعی،  $R_c$  شعاع خارجی مخروط داخلی یا شعاع داخلی مخروط خارجی است که در طول محور  $y$  متغیر است و با رابطه ۳ تعریف می شود و  $r_0$  شعاع خارجی سیلندر خارجی یا همان ایمپلنت می باشد که به صورت یک استوانه فرض شده است و همچنین  $\theta$  مطابق شکل ۲ زاویه مخروط می باشد.

$$R_c = r_a + (b \sin \theta - y \tan \theta) \quad (3)$$

پارامترهای موجود در معادله (۳) در شکل ۲ قابل مشاهده است. تاثیر استخوان بر عملکرد مکانیزم اتصال ابامنت - ایمپلنت: با توجه به رابطه ارایه شده توسط شیگلی (۱۲)، هر یک از سیلندرهای در گیر خارجی بر اتصال انقباضی موثر می باشند. لذا استخوان در برگیرنده ایمپلنت می تواند بر مکانیزم اتصال ابامنت و ایمپلنت تاثیرگذار باشد. نقش استخوان با بسط رابطه ۲ با شرایط مرزی استخوان به دست می آید. به طور عملی ناجیه فوقانی از ایمپلنت توسط استخوان کورتیکال و نواحی دیگر آن توسط استخوان اسفنجی پوشانده شده است. هر چند در نواحی فوقانی استخوان به دلیل به وجود آمدن پدیده استخوان خواری، همواره تنها استخوان کورتیکال ماده پوشانده نیست (۳)، اما ما در این مطالعه، استخوان را ماده ای همگن و ایزوتropیک و بدون پدیده استخوان خواری درنظر گرفته ایم. با توجه به این شرایط، فشار انقباضی با درنظر گرفتن استخوان در مقاله ارایه شده توسط Bozkaya و Muftu (۳) بسط داده شده است که به دلیل گسترده بودن رابطه از ذکر مجدد آن پرهیز کرده ایم.

#### محاسبه مقادیر پیش بار و گشتاورها:

با توجه به این که نیروی عکس العمل سطح برابر با فشار انقباضی

که در آن  $\alpha$  زاویه دندن پیچ می‌باشد. همچنین گشتاور سفت شدن بخش مخروطی نیز طبق رابطه زیر قابل محاسبه خواهد بود:

$$T_{tc} = R_c \eta_k N \cos \lambda \quad (10)$$

درنتیجه:

$$T_{tc} = 2\pi \eta_k (\int_0^{b \cos \theta} R_c^2 P_c dy) \cos \lambda \quad (11)$$

کلیه پارامترهای معادلات ۱۱-۹ در معادلات ۸-۱۰ توضیح داده شده‌اند.

#### محاسبه گشتاور شل کننده:

همانند بخش قبل مقدار کلی گشتاور شل کننده برابر با مجموع دو گشتاور بخش‌های مخروطی و پیچی می‌باشد.

$$T_l = T_{lc} + T_{ls} \quad (12)$$

که در معادله فوق،  $T_l$  گشتاور شل کننده کلی،  $T_{lc}$  گشتاور شل کننده بخش مخروطی و  $T_{ls}$  گشتاور شل کننده بخش پیچی می‌باشد. طبق رابطه موجود در کتاب طراحی اجزا ماشین شیگلی (۱۲) برای پیچ در حال شل شدن داریم:

$$T_{ls} = \frac{F_l d_m}{2} \left[ \frac{\pi \mu_s d_m \sec \alpha - l}{\pi d_m + \mu_s l \sec \alpha} \right] \quad (13)$$

گشتاور شل شدن در بخش مخروطی دقیقاً مانند گشتاور سفت کردن در این بخش خواهد بود، با این تفاوت که به جای ضریب اصطکاک دینامیکی از ضریب اصطکاک استاتیکی استفاده می‌کیم.

$$T_{lc} = 2\pi \mu_s (\int_0^{b \cos \theta} R_c^2 P_c dy) \cos \lambda \quad (14)$$

راندمان یا بهره‌وری مکانیزم اتصالی TIS با نسبت گشتاور شل شدن به گشتاور سفت شدن به صورت زیر تعریف می‌گردد.

$$\eta = \frac{T_l}{T_t} \quad (15)$$

در معادلات بالا،  $F_t$  نیروی مقاوم در هنگام سفت کردن و  $F_l$  نیروی مقاوم در هنگام شل شدن می‌باشد. همچنین  $k_l$  و  $k_t$  به ترتیب ضریب اصطکاک دینامیکی و استاتیکی است. از آنجایی که در هنگام پیچاندن این نوع ابانتمنت هر نقطه از آن یک مسیر مارپیچی (به خاطر نوع حرکت دندانه‌ها روی هم) طی می‌کند، و از آنجا که نیروی اصطکاک نیز در جهت حرکت ظاهر می‌شود، برای تجزیه نیروی اصطکاک در جهت  $y$ ،  $\sin \lambda$  وارد معادلات شده که  $\lambda$  زاویه مارپیچ پیچ می‌باشد.

با نیروی کششی پیش‌بار می‌توان از رابطه تنش، تنش به وجود آمده در ابانتمنت را محاسبه نمود.

$$\sigma = \frac{F}{A} \quad (7)$$

در معادله ۷،  $F$  نیروی مقاوم یا پیش‌بار و  $A$  سطح مقطع می‌باشد. با داشتن کمترین سطح مقطع ابانتمنت که همان مقطع دندانه‌دار آن می‌باشد و همچنین میزان پیش‌بار، می‌توان بیشترین تنش به وجود آمده در ابانتمنت را محاسبه نمود.

محاسبه گشتاور سفت کننده:

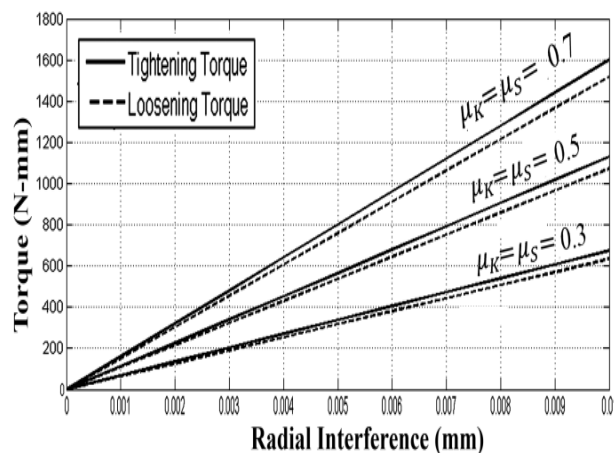
همان طور اشاره شده مکانیزم‌های TIS از دو بخش مخروطی و پیچی تشکیل شده است، هر یک از این دو بخش طبق تعریف به تنهایی می‌تواند گشتاور سفت شونده و باز شونده به سیستم اعمال کند، لذا ترکیب این دو، گشتاوری معادل مجموع دو گشتاور هر دو بخش را ایجاد می‌کند.

$$T_t = T_{tc} + T_{ts} \quad (8)$$

در معادله ۸،  $T_t$  گشتاور سفت شونده کلی،  $T_{tc}$  گشتاور سفت شونده بخش مخروطی و  $T_{ts}$  گشتاور سفت شونده بخش پیچی می‌باشد. طبق روابط موجود در طراحی اجزا ماشین، بخش پیچ‌ها (۱۲)، گشتاور سفت شونده به صورت زیر تعریف می‌شود.

$$T_{ts} = \frac{F_t d_m}{2} \left[ \frac{l + \pi \mu_k d_m \sec \alpha}{\pi d_m - \mu_k l \sec \alpha} \right] \quad (9)$$

بیشتری اعمال شود مقدار تداخل بیشتر خواهد شد. رابطه این دو با سه مقدار ضریب اصطکاک در شکل ۴، نشان داده شده است. همان طور که در شکل ۴ مشاهده می شود، برای مقدار گشتاور سفت کننده  $N\cdot mm$  ۳۵۰ که توسط کارخانه سازنده پیشنهاد شده است با ضریب اصطکاک استاندارد  $\mu_k = \mu_s = 0.3$  در حدود ۵ میکرومتر تداخل به وجود می آید. طبق نمودار شکل ۴ افزایش ضریب اصطکاک برای ایجاد تداخل یکسان گشتاور بیشتری را طلب می کند.



شکل ۴- تداخل شعاعی بر حسب گشتاور

شکل ۵، تغییرات گشتاور بر حسب زاویه مخروط، شعاع خارجی ایمپلنت و همچنین سطح تماس مخروط را نشان می دهد. همان طور که در شکل ۵-الف) پیداست، تغییرات زاویه مخروط تاثیر چندانی روی گشتاور سفت شدن و شل شدن ندارد، در حالیکه در شکل ۵-ب) اثر قابل توجه سطح تماس بر گشتاور کاملاً مشهود است. افزایش سطح تماس باعث افزایش گشتاور سفت شدن و شل شدن خواهد شد، همین طور که افزایش ضریب اصطکاک نیز می تواند عامل موثر دیگری در این روند باشد. شکل ۵-ج) نیز اثر تغییر شعاع خارجی ایمپلنت بر گشتاور را نشان می دهد. اثر این پارامتر بر گشتاور با ضرایب اصطکاک بالاتر بیشتر خودنمایی می کند. بدین صورت در می باشیم که با افزایش شعاع خارجی ایمپلنت گشتاور بیشتری برای سفت شدن کمتر در کلیه نمودارهای شکل ۵، گشتاور شل شدن از سفت شدن کمتر است، دلیل این امر یکسان بودن ضریب اصطکاک دینامیکی و استاتیکی ایمپلنت می باشد، این موضوع در شکل ۷، قابل درک است. شکل ۶ نشان دهنده مقدار گشتاور شل شدن به گشتاور سفت شدن می باشد، این تغییرات به صورت خطی بوده و همان طور که قبلاً

در معادله بالا ۶ راندمان مکانیزم می باشد. در این مطالعه محاسبه مقادیر فوق به صورت پارامتری در نرم افزار MATLAB انجام گرفته است. همان طور که از معادلات فوق پیداست معادلات ۸ الی ۱۵ چندین پارامتر مستقل از هم را در خود جای داده است که با توجه به این معادلات، می توان به بهینه سازی هریک از این پارامترها پرداخت. هرچند که ما در این مقاله به انجام چنین کاری نپرداخته ایم، ولی تاثیر چند پارامتر مهم در طراحی روى راندمان و گشتاور ایمپلنت ITI را بررسی نموده ایم. همچنین میزان پیش بار به وجود آمده در ابامنت تحت گشتاورهای مختلف محاسبه نموده ایم.

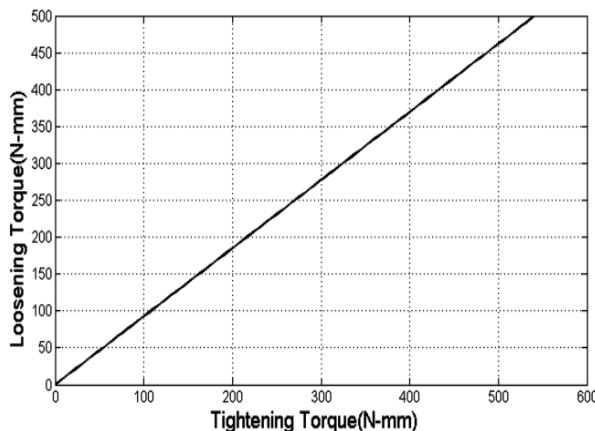
### یافته ها

روابط بخش فوق برای ایمپلنت دارای ابامنت یک تکه نوع ITI به کار گرفته شده است. همین طور برای درک اثرگذاری هر یک از پارامترهای طراحی بر عملکرد ایمپلنت، تغییرات برخی از این پارامترها در این مطالعه اعمال گشته است. مشخصات ایمپلنت ITI در جدول ۱ قابل مشاهده است.

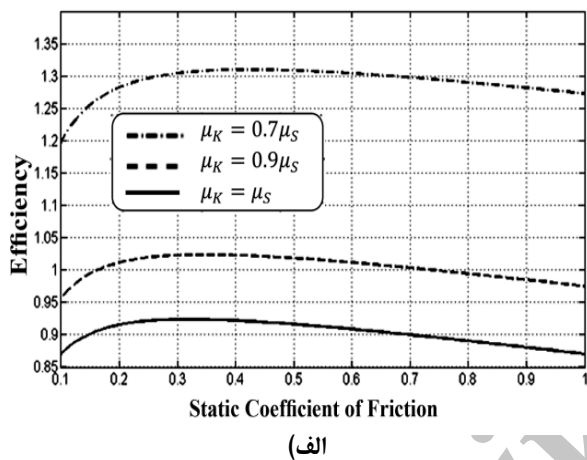
جدول ۱- پارامترهای طراحی سیستم ایمپلنت ITI (۴)

پارامتر	محدوده تغییرات	مقادیر
$\theta$ (Degree)	۸	-۱۰
$\mu$	۰/۳	۰/۱۱
$\mu_k/\mu_s$	۱	۰/۹ و ۰/۷
a(mm)	۰/۷۳۱	-۵
$r_o$	۲/۲۴	۱-۴
$\delta$	۵	-۵
$r_a$ (mm)	۱/۴۲	--
E(Gpa)	۱۱۰	--
$d_m$ (mm)	۰/۸۷۵	--
l(mm)	۰/۴۴	--
$\lambda$ (Degree)	۹/۱۱	--
$\alpha$ (Degree)	۳۰	--

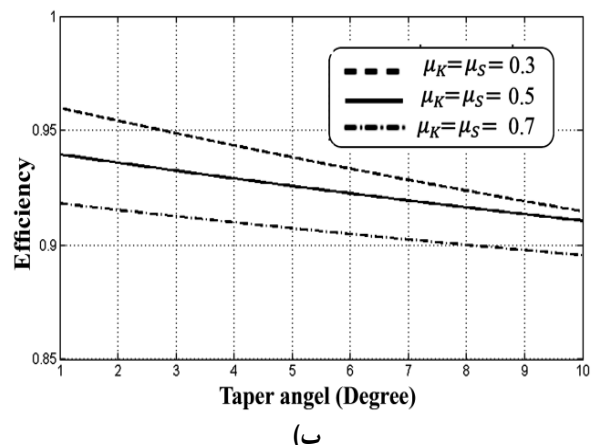
در بخش کلینیکی، گشتاور سفت کننده به عنوان یک پارامتر کنترل شونده می باشد که می توان با تغییر آن روی یک ایمپلنت خاص نتایج عملکرد آن را تغییر داد (۱۳). در حالیکه تغییر دیگر پارامترها در بحث طراحی می تواند اعمال شود. با اعمال گشتاور سفت کردن بخش مخروطی ابامنت به اندازه  $\delta$  وارد ایمپلنت می شود، هرچه گشتاور



شکل ۶- گشتاور شل شدن بر حسب گشتاور سفت شدن



(الف)

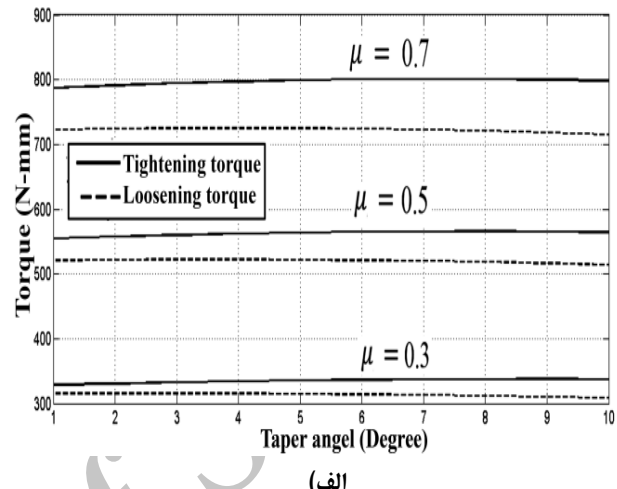


(ب)

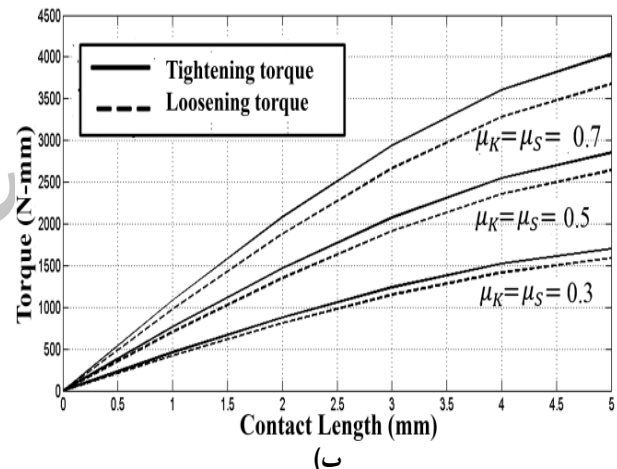
شکل ۷- راندمان مکانیزم TIS در ایمپلنت ITI- برحسب  
الف) ضریب اصطکاک استاتیکی، ب) زاویه مخروط

طبق توضیحات فوق راندمان یا بهرهوری می‌تواند به عنوان عامل تعیین‌کننده‌ای مورد مطالعه قرار گیرد. در شکل ۷-الف و ب) به ترتیب اثر تغییر ضریب اصطکاک استاتیک و زاویه مخروطی روی راندمان نشان داده شده است. همان‌طور که در شکل ۷-الف) پیداست،

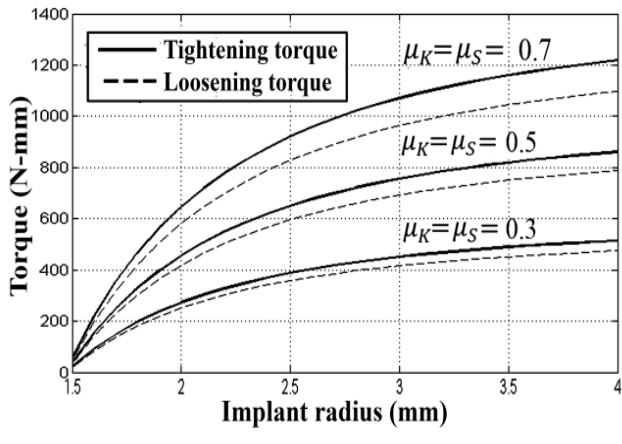
تعريف شد، شبیه این خط بیانگر راندمان مکانیزم می‌باشد. به این ترتیب راندمان سیستم ایمپلنت ITI با مشخصات جدول ۱ برابر با ۹۲٪ برآورد می‌شود، این بدین معنی است که در این نوع ایمپلنت همواره گشتاور شل شدن کمتر از گشتاور سفت شدن خواهد بود.



(الف)



(ب)



(ج)

شکل ۵- تغییرات گشتاور در ایمپلنت ITI نسب به الف) زاویه مخروط، ب) سطح تماس مخروط، ج) شعاع خارجی ایمپلنت

به صورت خطی با گشتاور اعمالی متناسب است، بیشترین پیش‌بار به وجود آمده در ابامنت در حالت سفت کردن رخ می‌دهد. همچنین می‌توان دید که با افزایش ضریب اصطکاک، پیش‌بار در گشتاورهای یکسان کاهش می‌یابد. با توجه به معادله ۷ می‌توان مقدار تنش به وجود آمده در ایمپلنت را محاسبه نمود، این مقدار برای ایمپلنت استاندارد ITI با گشتاور سفت کردن  $350\text{ N-mm}$ ، حدود ۲۳۳ مگاپاسکال محاسبه شد که در حدود ۴۰٪ تنش تسليیم تیتانیوم می‌باشد، البته این مقدار تنش با درنظر گرفتن تمرکز تنش در لبه گردن پیچ بیشتر خواهد بود.

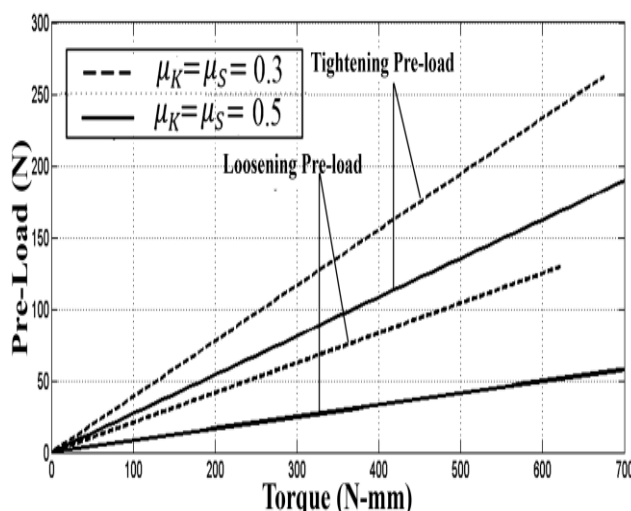
نمودارها برای سه حالت که ضرایب اصطکاک دینامیکی و استاتیکی مخالف و مساوی هم هستند رسم شده است. با توجه به شکل می‌توان دریافت که راندمان و بستگی خاصی به ضریب اصطکاک دینامیکی دارد و با کوچکتر شدن این مقدار نسبت به ضریب اصطکاک استاتیکی راندمان به شدت تغییر می‌کند. به طوری که با کاهش ضریب اصطکاک دینامیکی به ۷۰٪ ضریب اصطکاک استاتیکی تغییرات راندمان در محدوده  $1/2$  و  $1/3$  به معنی بیشتر بودن گشتاور شل شدن نسبت به سفت کردن خواهد بود، این در حالی است که در صورت یکسان بودن دو ضریب استاتیکی و دینامیکی این محدوده بین  $0/1$  و  $1$  خواهد بود، همین‌طور مشاهده می‌شود که تمامی این نمودارها دارای یک پیک می‌باشد لذا بیشترین مقدار راندمان با ضریب اصطکاک استاتیکی بین  $0/3$  و  $0/4$  رخ می‌دهد.

شکل ۷-ب) تاثیر زوایای مختلف مخروطی بر راندمان سیستم را نشان می‌دهد. همان‌طور که مشاهده می‌شود با افزایش زاویه، راندمان کاهش می‌یابد، برای مثال با افزایش زاویه از  $1$  به  $10$  درجه، برای ضریب اصطکاک  $2/3$ ، راندمان در حدود ۵٪ کاهش می‌دهد. تغییر شیب جزیی در نمودارها ناشی از ناپدید شدن نیروی پیش‌بار در پیچ می‌باشد که از معادله  $6$  قابل درک خواهد بود. در این حالت اتصال تنها توسط بخش مخروطی تحمل خواهد شد، این مقدار زاویه برای ایمپلنت ITI با ضریب اصطکاک  $0/3$  در زاویه  $2/2$  درجه قابل مشاهده است. بنابراین برای این که پیچ همواره دارای پیش‌بار باشد زوایای بیش از این مقدار بایستی برای طراحی لحاظ گردد، همچنین با افزایش ضریب اصطکاک، زوایای مخروط بیشتری نیز موردنیاز خواهد بود.

#### پیش‌بار:

همان‌طور که قبل اشاره شد، گشتاور کلی در سیستم‌هایی با مکانیزم اتصال TIS مجموعی از گشتاور قسمت مخروطی و قسمت پیچی می‌باشد. اما گشتاور بین این دو چگونه تقسیم می‌شود و چه عواملی می‌تواند این توزیع را بر هم بزند. اینها سوالاتی است که در این بخش به آنها پاسخ خواهیم داد. همان‌طور که از روابط  $9$  و  $5$  مشخص است، زاویه کوچک مخروطی و وجود ترم سینوسی در پیش‌بار پیچ، باعث می‌شود گشتاور بسیار کمتری در قسمت پیچ قرار گیرد. این مسئله در گشتاور شل شدن به شدت به چشم می‌خورد، به طوری که در زوایای کمتر از  $2/2$  درجه به طور کلی گشتاور شل شدن از پیچ ناپدید می‌شود. در این حالت دندانهای پیچ از هم جدا گشته و مکانیزم از یک مکانیزم TIS به مکانیزم TIF یعنی مخروط تنها تبدیل می‌شود.

پیش‌بار به عنوان تابعی از گشتاور در معادلات  $8$  و  $12$  به چشم می‌خورد. هرچند پیش‌بار به عنوان یک تابع مستقل تنها در معادلات مربوط به قسمت پیچ وجود دارد، ولیکن افزایش گشتاور باعث تغییر تداخل ساعی در بخش مخروطی خواهد شد، لذا با تغییر گشتاور، مقدار عکس العمل سطح تغییر خواهد کرد که این تغییر در هر دو بخش مخروطی و پیچی تاثیرگذار می‌باشد (۱۴). لذا برای ایمپلنت ITI تغییر پیش‌بار نسبت به گشتاور درحال سفت کردن و شل شدن در شکل  $8$  نشان داده شده است. این نمودار برای دو ضریب اصطکاک  $0/3$  و  $0/5$  ترسیم گردیده است. همان‌طور که در شکل  $8$  مشخص است، پیش‌بار



شکل ۸- مقدار پیش‌بار نسبت به گشتاورهای متغیر

#### توزیع گشتاور:

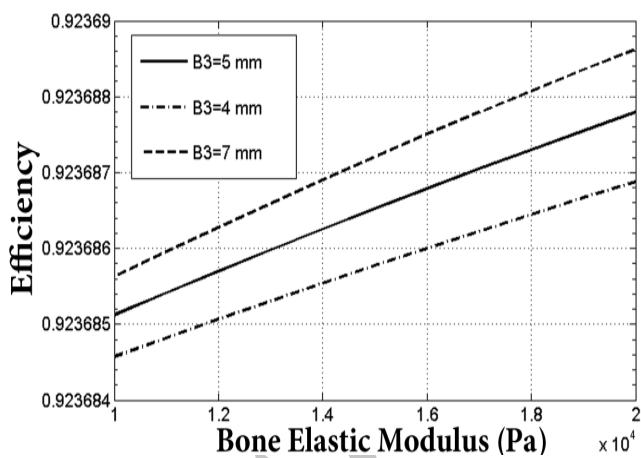
همان‌طور که قبل اشاره شد، گشتاور کلی در سیستم‌هایی با مکانیزم اتصال TIS مجموعی از گشتاور قسمت مخروطی و قسمت پیچی می‌باشد. اما گشتاور بین این دو چگونه تقسیم می‌شود و چه عواملی می‌تواند این توزیع را بر هم بزند. اینها سوالاتی است که در این بخش به آنها پاسخ خواهیم داد. همان‌طور که از روابط  $9$  و  $5$  مشخص است، زاویه کوچک مخروطی و وجود ترم سینوسی در پیش‌بار پیچ، باعث می‌شود گشتاور بسیار کمتری در قسمت پیچ قرار گیرد. این مسئله در گشتاور شل شدن به شدت به چشم می‌خورد، به طوری که در زوایای کمتر از  $2/2$  درجه به طور کلی گشتاور شل شدن از پیچ ناپدید می‌شود. در این حالت دندانهای پیچ از هم جدا گشته و مکانیزم از یک مکانیزم TIS به مکانیزم TIF یعنی مخروط تنها تبدیل می‌شود.

شکل ۹-ب) این نسبت را با تغییر در سطح تماس مخروطی نشان می‌دهد. این نمودار بیانگر آن است که افزایش سطح مخروط باعث می‌شود گشتاور بیشتری توسط این بخش اعمال گردد. اگرچه، افزایش ضربی اصطکاک باعث می‌شود این نسبت کاهش یافته و گشتاور بیشتری به قسمت پیچ انتقال یابد. لذا افزایش ضربی اصطکاک این اجازه را به طراحان می‌دهد که سطح تماس بیشتری در قسمت مخروطی ایجاد کنند بدون این که پیش‌بار در پیچ از بین برود.

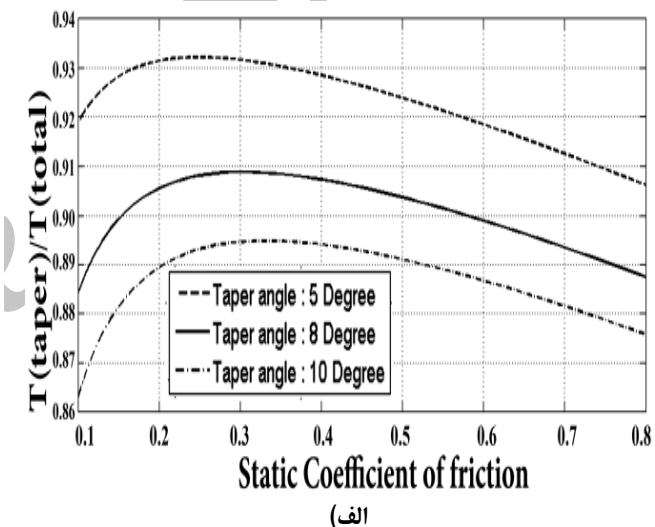
#### تأثیر استخوان بر عملکرد اتصال:

با توجه به این که در اتصال‌های انقباضی عضوهای خارجی نیز می‌توانند بر عملکرد مکانیزم موثر باشند، در این بخش تأثیر استخوان بر مقادیر راندمان در اشکال ۱۰ و ۱۱ نشان داده است. همان‌طور که در شکل ۱۰ پیداست، با افزایش مدول الاستیک استخوان که خود بیانگر دانسته استخوان نیز می‌باشد (رابطه هانس فیلد)، مقادیر راندمان افزایش یافته است.

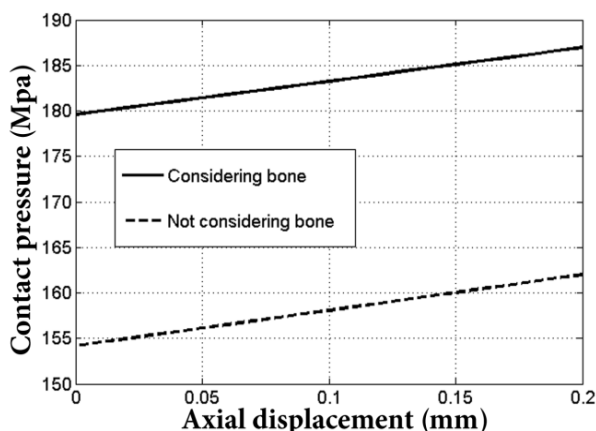
شکل ۹-الف) نسبت گشتاوری سفت کردن قسمت مخروطی به کل گشتاور سفت کردن را با ضرایب اصطکاک دینامیکی مختلف نشان می‌دهد. در این شکل می‌توان دید که با افزایش زاویه مخروط، ترم سینوسی پیش‌بار در پیچ بزرگ‌تر می‌شود و گشتاور بیشتری در پیچ منتقل می‌گردد، لذا نسبت گشتاور مخروط به کل کاهش می‌یابد. نکته قابل توجه این است که مانند نمودار مربوط به راندمان و ضربی اصطکاک، این نمودار نیز دارای یک پیک می‌باشد که در ضرایب اصطکاک بین  $0.25/0.35$  و  $0.35/0.45$  بیشترین گشتاور به قسمت مخروطی منتقل می‌گردد. در هر صورت بیش از  $86\%$  گشتاور کلی توسط بخش مخروطی اعمال می‌گردد، این رقم برای ایمپلنت استاندارد ITI معادل  $91\%$  گشتاور کل می‌باشد. بنابراین قسمت پیچ دار تنها  $9\%$  گشتاور کل را ایجاد می‌کند.



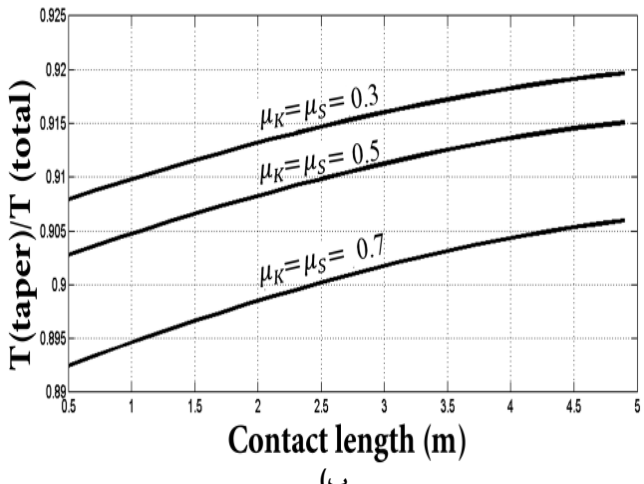
شکل ۱۰- تأثیر مدول الاستیک استخوان بر راندمان



(الف)



شکل ۱۱- تأثیر استخوان بر فشار انقباضی ایمپلنت و اباتمنت



شکل ۹- نسبت گشتاور مخروط به گشتاور کل بر حسب (الف) ضربی اصطکاک استاتیکی، (ب) سطح تماس مخروط

در این مطالعه، نشان داده شد که ضرایب اصطکاک تاثیر قابل توجهی در مقادیر گشتاور دارند. ضریب اصطکاک اصولاً به عنوان یک پارامتر تخمینی در طراحی می‌باشد (۴). ضریب اصطکاک به عوامل بسیاری همچون جنس مواد، صافی سطح، سطح تماس و در مواردی به نیروی عکس‌العمل سطح بستگی دارد (۵).

در این مقاله، مقدار تداخل شعاعی نسبت به گشتاور اعمالی محاسبه گشت. لذا عکس‌العمل سطح، گشتاور و پیش‌بار ایجاد شده در ابامنت محاسبه گردید. نتایج نشان می‌دهند که به علت وجود عضو مخروطی روی ابامنت، بیش از ۸۵٪ گشتاور توسط قسمت مخروطی اعمال شده و کمتر از ۱۵٪ آن توسط بخش پیچی تامین می‌گردد.

همچنین در این مطالعه، نقش استخوان در راندمان TIS و تاثیر آن در میزان فشار تماسی یا انقباضی بررسی گردید. نتایج نشان داده که استخوان با توجه به پارامترهای موثر در آن همچون مدول الاستیک و ضخامت استخوان، تاثیر بسزایی در راندمان TIS نخواهد داشت. همچنین در نظر گرفتن استخوان در تحلیل انجام شده می‌تواند ۱۵٪ فشار انقباضی اتصال ایمپلنت-ابامنت را افزایش دهد.

## تشکر و قدردانی

نویسنده‌گان مقاله، مراتب تقدیر و تشکر خود را از آقای دکتر سعید نوکار عضو محترم هیات علمی دانشکده دندانپزشکی دانشگاه علوم پزشکی تهران در رابطه با راهنمایی‌های ارزشمندان اعلام می‌دارند. همچنین این مقاله حاصل بخشی از پایان‌نامه دانشجوی کارشناسی ارشد، گروه آموزشی بیومکانیک، دانشکده مهندسی، مکانیک دانشگاه علم و صنعت ایران می‌باشد.

همین‌طور مشخص می‌گردد که با افزایش ضخامت استخوان (B3) از شعاع ۴ میلی‌متر به ۷ میلی‌متر، راندمان افزایش می‌یابد. هرچند این افزایش بسیار اندک بوده و تاثیر آن کمتر از یک درصد می‌باشد.

شکل ۱۱ نیز مقادیر فشار انقباضی ایمپلنت و ابامنت را با جابجایی‌های محوری مختلف نشان می‌دهد. همان‌طور که مشاهده می‌شود وجود استخوان می‌تواند در شرایط یکسان تا ۱۵٪ در افزایش مقادیر فشار انقباضی موثر باشد.

## بحث و نتیجه‌گیری

به طور کلی، تغییر زاویه مخروط تاثیر چندانی روی میزان گشتاور اعمالی روی ابامنت ندارد. در حالیکه با تغییر ضریب اصطکاک از ۰/۳ به ۰/۷ مقدار گشتاور از حدود ۳۵۰ نیوتن-میلی‌متر به حدود ۸۰۰ نیوتن-میلی‌متر افزایش می‌یابد. افزایش شعاع خارجی ایمپلنت نیز می‌تواند نقش موثری در گشتاور سفت شدن و شل شدن داشته باشد. البته سطح تماس به علت دارا بودن توان ۳ در معادلات، مهم‌ترین نقش را در تغییر گشتاور ایفا می‌کند.

همچنین مشاهده گردید که با کاهش ضریب اصطکاک دینامیکی تا حدود ۹۰٪ ضریب اصطکاک استاتیکی، راندمان به رقم ۱۰۰٪ نزدیک می‌شود. لذا گشتاور شل شدن تقریباً برابر با گشتاور سفت کردن خواهد شد. با کاهش ضریب اصطکاک دینامیکی تا ۷۰٪ ضریب اصطکاک استاتیکی، راندمانی بیش از ۱۲۵٪ ایجاد می‌شود. اگرچه در ایمپلنت استاندارد ITI ضرایب اصطکاک دینامیکی و استاتیکی برابر هستند، راندمان همواره کوچک‌تر از ۱ می‌باشد که به معنی کمتر بودن مقدار گشتاور شل شدن از گشتاور سفت کردن می‌باشد.

## منابع:

- Bozkaya D, Müftü S. Mechanics of the taper integrated screwed-in (TIS) abutments used in dental implants. *J Biomech*. 2005;38(1):87-97.
- Misch CE. Principles for screw-retained prosthesis. In: *Contemporary Implant Dentistry*. 2<sup>nd</sup> ed. St. Louis: Mosby;1999:575-98.
- Bozkaya D, Müftü S. Mechanics of the tapered interference fit in dental implants. *J Biomech*. 2003;36(11):1649-58.
- Scacchi M, Merz BR, Schär AR. The development of the ITI dental implant system. *Clin Oral Implants Res*. 2000;11 Suppl 1:22-32.
- Mallakzadeh MR, Zandi A, Atefi E. Dental implant stability

analysis and influence of effective factors on bone-implant contact using frictional model of contact. *J Dent Med Tehran Univ Med Sci*. 2011;24(3):130-13.

6- Schwarz MS. Mechanical complications of dental implants. *Clin Oral Implants Res*. 2000;11 Suppl 1:156-8.

7- Haas R, Mensdorff-Pouilly N, Mailath G, Watzek G. Branemark single tooth implants: a preliminary report of 76 implants. *J Prosthet Dent*. 1995;73(3):274-9.

8- Haas R, Polak C, Fürhauser R, Mailath-Pokorny G, Dörtnbäck O, Watzek G. A long-term follow-up of 76 Branemark single-tooth implants. *Clin Oral Implants Res*. 2002;13(1):38-43.

- 9-** Levine RA, Clem DS 3rd, Wilson TG Jr, Higginbottom F, Solnit G. A multicenter retrospective analysis of the ITI implant system used for single-tooth replacements: results of loading for 2 or more years. *Int J Oral Maxillofac Implants.* 1999;14(4):516-20.
- 10-** Behneke A, Behneke N, d'Hoedt B. The longitudinal clinical effectiveness of ITI solid-screw implants in partially edentulous patients: a 5-year follow-up report. *Int J Oral Maxillofac Implants.* 2000;15(5):633-45.
- 11-** Norton MR. Marginal bone levels at single tooth implants with a conical fixture design. The influence of surface macro- and microstructure. *Clin Oral Implants Res.* 1998;9(2):91-9.
- 12-** Shigley JE, Mischke CR. *Mechanical Engineering Design.* 6<sup>th</sup> edition. McGraw Hill; 1989: 450-500.
- 13-** Norton MR. In vitro evaluation of the strength of the conical implant-to-abutment joint in two commercially available implant systems. *J Prosthet Dent.* 2000;83(5):567-71.
- 14-** Izumi S, Yokoyama T, Iwasaki A, Sakai S. Three-dimensional finite element analysis of tightening and loosening mechanism of threaded fastener. *Engin Fail Analys.* 2005;12(4):604-15.
- 15-** Adams GG, Muftu S, Mohd Azar N. A scale-dependent model for multi-asperity model for contact and friction. *J Tribology.* 2003;125(4):700-8.

Archive of SID